

三峡永久船闸陡高边坡直墙顶的水平位移估计及意见*

陆培炎

(广东省水利水电科学研究所 广州 510610)

在悉读了武汉片、宜昌片、北京片三地专家所写的“三峡船闸陡高边坡关键技术研究”后，主要针对直墙顶水平位移的大小有不同的计算结果，谈谈我对此问题的看法。

1 用工程估算法估算直墙顶的水平位移 u

在保证边坡整体稳定的条件下，当计算卸荷条件时，直墙顶(图1)的水平位移 u 可按下式估算：

$$u = u_1 + u_2 = \sum \frac{\sigma_{zi} h_{zi}}{E_{zi}} + \sum v_i \frac{\sigma_{zi} h_{zi}}{E_{zi}}$$

式中： σ_{zi} ， σ_{zi} ——考虑构造应力、自重应力卸载的水平应力及垂直应力 / MPa；

h_{zi} ， h_{zi} ——边坡垂直分层及水平分层的厚度 / m；

E_{zi} ， E_{zi} ——边坡垂直分层和水平分层的岩体变形模量 / MPa；

v_i ——岩体泊松比；

h_z ——直墙高度 / m；

h_z ——考虑卸荷时，由边坡面至边坡内的计算距离，考虑到直墙高约 50 m，岩体为微新花岗岩，计算 80 m 距离是合适的(卸荷区)。

1.1 三闸首 16-16 剖面(图1)边坡直墙顶水平位移 u

(1) 武汉片(报告第 93 页)及北京片(报告第 90 页)微新岩体的初始地应力为

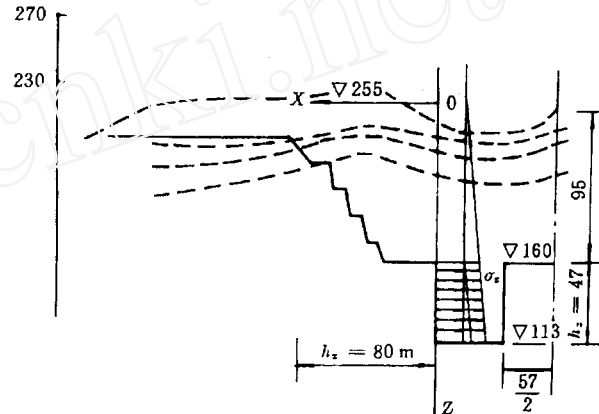


图 1 16-16 剖面

Fig. 1 Section of 16-16

$$\sigma_z = 4.3982 + 0.01168z$$

该式意味着构造应力为 4.4 MPa，而自重应力为 $0.433 \times 0.027z$ ，即自重应力的侧压力系数为 0.433，泊松比 $\nu = 0.3$ 。

$$\sigma_z = 1.6628 + 0.03039z$$

宜昌片(报告第 23 页)的初始地应力为

$$\sigma_z = 4.0 + 0.027z$$

(该报告 y 方向为图 1 的 x 方向)

即自重应力的侧压力系数为 1，泊松比 $\nu = 0.5$ 。

$$\sigma_z = 0.027z$$

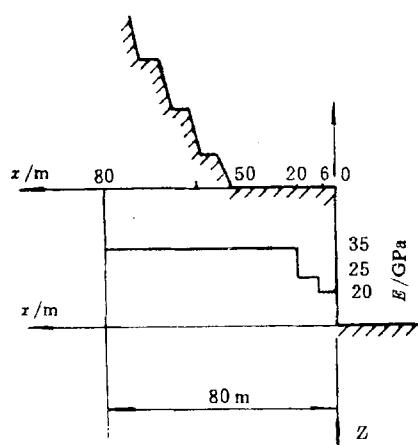
(2) 按照北京片给出的变形模量 E 的计算结果

① 按照报告第 61 页中表 4-16 的开挖松动带变形模量 E 以质量评价方法的值示于图 2 中。

1999年9月29日收到来稿。

* 此文为 1996 年 3 月份中国岩石力学与工程学会专家组对“长江三峡工程船闸陡高边坡关键技术研究”成果评估会上的发言稿，此次发表，未作任何改动。

作者 陆培炎 简介：男，65岁，1956年毕业于华南工学院土木系工业与民用建筑结构专业，现任博士生导师，主要从事岩土力学与工程方面的科研与咨询工作。

图 2 松动带与变形模量 E Fig. 2 Loose area and deformation modulus E

由图 1, 当 $z = 142$ m 时,

$$\sigma_z = 4.4 + 0.01168 \times 142 = 4.4 + 1.66 = 6.06 \text{ MPa}$$

$$\sigma_z = 1.6628 + 0.02039 \times 142 =$$

$$1.6628 + 4.3154 = 5.98 \text{ MPa}$$

$$u_1 = 6.06 \left(\frac{6}{20000} + \frac{14}{25000} + \frac{30}{35000} + \frac{30}{35000} \right) = 6.06(0.0003 + 0.00056 + 0.000857 +$$

$$0.000857) = 6.06 \times 0.002574 = 0.016 \text{ m} = 1.6 \text{ cm}$$

$$u_2 = 0.22 \times 5.98 \frac{47}{30000} = 0.0021 \text{ m} = 0.21 \text{ cm}$$

$$u = u_1 + u_2 = 1.6 + 0.21 = 1.81 \text{ cm}$$

② 按照报告第 62 页中表 5.1 给出的微新岩体 $E = 35 \text{ GPa}$, $\nu = 0.22$, 则

$$u_1 = 6.06 \frac{80}{35000} = 0.014 \text{ m} = 1.4 \text{ cm}$$

$$u_2 = 0.22 \times 5.89 \frac{47}{35000} = 0.0018 \text{ m} = 0.18 \text{ cm}$$

$$u = u_1 + u_2 = 1.6 \text{ cm}$$

(3) 按照武汉片报告第 44 页中表 5.1.1 给出的微新岩体 $E = 35 \text{ GPa}$, $\nu = 0.22$, 与北京片 ② 完全相同。因而 $u = 1.6 \text{ cm}$ 。

上面是按照加载试验的变形模量以及考虑开挖松动带降低变形模量 E 计算直墙顶的水平位移约为 $1.6 \sim 1.8 \text{ cm}$ 。如果加上结构面的流变量约为弹塑性总量的 15%, 即约 3 mm , 则直墙顶的水平位移约 2 cm 。上述计算与北京片算出的 1.6 cm 和 1.9 cm (报告第 93 页, 表 6.1), 武汉片算出的 2.0 , 2.1 cm (报告第 99 页第 7 行) 是相当一致的。

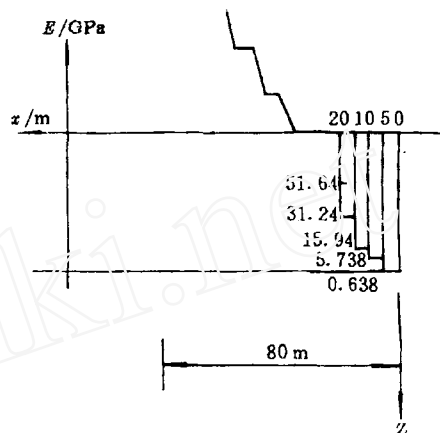
(4) 按照宜昌片在报告第 55 页的表 3.20 中列出的边坡岩体水平卸荷区岩体变形模量 E , 如图 3 所示。

$$\sigma_z = 4.0 + 0.027z = 4 + 0.027 \times 142 =$$

$$4 + 3.84 = 7.84 \text{ MPa}$$

$$\sigma_z = 0.027 \times 142 = 3.84 \text{ MPa}$$

$$u_1 = 7.84 \left(\frac{5}{638} + \frac{5}{5738} + \frac{5}{15940} + \frac{5}{31240} + \frac{60}{51640} \right) = 7.84(0.00784 + 0.00087 + 0.000314 + 0.00016 + 0.00116) = 7.84(0.010344) = 0.081 \text{ m} = 8.1 \text{ cm}$$

图 3 卸荷带与变形模量 E Fig. 3 Unloading area and deformation modulus E

由此可见, 靠近边坡 5 m 的岩体的水平位移占 8.1 cm 的 76%。当考虑垂直变形的不均匀并简化计算时,

$$u_2 = 0.22 \frac{3.84 \times 47}{638} = 0.062 \text{ m} = 6.2 \text{ cm}$$

则

$$u = u_1 + u_2 = 8.1 + 6.2 = 14.3 \text{ cm}$$

也由此可见, 5 m 厚的变形模量很低取值的岩体占总水平位移 14.3 cm 的 86.3%。而宜昌片的计算结果在报告第 89 页中表 4.4 中按弹性计算为 13.56 cm , 与上述接近。

(5) 如果将宜昌片靠近边坡 $0 \sim 5 \text{ m}$ 的岩体变形模量改为与 $5 \sim 10 \text{ m}$ 的岩体变形模量相同, 即 $E = 5.738 \text{ GPa} = 5738 \text{ MPa}$, 则

$$u_1 = 7.84 \times 0.003374 = 2.65 \text{ cm}$$

$$u_2 = 0.22 \times \frac{3.84 \times 47}{5738} = 0.69 \text{ cm}$$

则

$$u = u_1 + u_2 = 3.34 \text{ cm}$$

这样, 比武汉片、北京片大约 1 倍, 但总的水平位移量还是较小的。

(6) 图 3 中的变形模量是由图 4(a) 的 170 m 高程和 200 m 高程监测洞地震波速-观测距离的交会图 (见宜昌片报告第 50 页图 3.7) 得到的。由声波波速与混凝土材料的抗压强度的大量测试可知, 若波速

$V = 3500 \text{ m/s}$, 则混凝土的抗压强度约为 C20, 而 C20 混凝土的变形模量约为 25 GPa。由此, 根据图 4(a) 的声波测试波速可以大概绘制出观测距离的变形模量如图 4(b) 的 B 曲线, 而 A 线是根据报告第 51 页中表 3.15 或报告中第 55 页中表 3.20 绘制的。

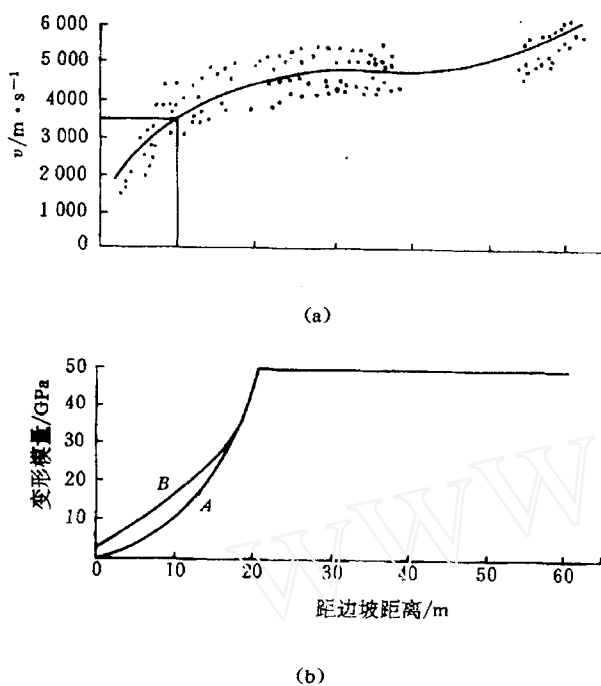


图 4 坡后距离与声波速度、变形模量 E

Fig. 4 The distance from slope-face, sonic wave velocity and deformation modulus E

如果按照图 4(b) 中的 B 线的岩体变形模量, 则直墙顶水平位移 u 为

$$\begin{aligned} u_1 &= 7.84 \left(\frac{5}{5000} + \frac{5}{15000} + \frac{5}{25000} + \right. \\ &\quad \left. \frac{5}{30000} + \frac{60}{51640} \right) = 7.84(0.001 + \\ &0.00033 + 0.0002 + 0.000167 + 0.00116) = \\ &7.84(0.002857) = 0.0224 \text{ m} = 2.24 \text{ cm} \\ u_2 &= 0.22 \frac{3.84 \times 47}{5000} = 0.0079 \text{ m} = 0.79 \text{ cm} \end{aligned}$$

则

$$u = u_1 + u_2 = 3.03 \text{ cm}$$

这样, 如果应用图 4(b) 中 B 线变形模量, 再考虑边坡 5 m 范围的岩体已有系统的短锚杆, 则可以相信, 用简易的工程判断法可知直墙顶的水平位移为 2~3 cm。

1.2 三闸首 16-16 剖面(图 1)中墩直墙顶水平位移 u

中墩宽 57 m, 高 47 m。

(1) 武汉片(报告第 98 页)及北京片(报告第 90 页)微新岩体的初始地应力为

$$\sigma_z = 4.3982 + 0.1168z$$

$$\begin{aligned} \text{当 } z = 47 \text{ m}, \sigma_z &= 4.3982 + 0.5489 = 4.947 \\ &\approx 5 \text{ MPa}, \end{aligned}$$

$$\sigma_z = 1.6628 + 0.03039z$$

对于 z 方向, 当开挖至 160 m 高程, z 方向的地应力可能已经释放, 若考虑向上拉伸的地应力, 则可能减小中墩的水平位移 u 。因此, 这里仅考虑自重应力为

$$\sigma_z = 0.03039 \times 47 = 1.43 \text{ MPa}$$

宜昌片(报告第 23 页)的初始地应力为

$$\sigma_z = 4.0 + 0.027z = 4 + 0.027 \times 47 = 5.27 \text{ MPa}$$

(该报告 y 方向为图 1 的 x 方向)

$$\sigma_z = 0.027z = 0.027 \times 47 = 1.27 \text{ MPa}$$

(2) 按照北京片给出的变形模量 E 的计算结果

① 按图 2 考虑开挖松动带的 E

$$\begin{aligned} u_1 &= 5 \left[\frac{6}{20000} + \frac{14}{25000} + \frac{\left(\frac{57}{2} - 20\right)}{35000} \right] = \\ &5(0.0003 + 0.00056 + 0.00024) = 5(0.0011) = \\ &0.0055 \text{ m} = 0.55 \text{ cm} \end{aligned}$$

$$u_2 = 0.22 \frac{1.43 \times 47}{20000} = 0.0007 \text{ m} = 0.07 \text{ cm}$$

则

$$u = u_1 + u_2 = 0.55 + 0.07 = 0.62 \text{ cm} \approx 6 \text{ mm}$$

② 按照报告第 62 页中表 5.1 给出的微新岩体 $E = 35 \text{ GPa}$, $\nu = 0.22$ 则

$$u_1 = 5 \frac{\left(\frac{57}{2} - 20\right)}{35000} = 0.0034 \text{ m} = 0.34 \text{ cm}$$

$$u_2 = 0.22 \frac{1.43 \times 47}{35000} = 0.00043 \text{ m} = 0.043 \text{ cm}$$

$$u = u_1 + u_2 = 0.34 + 0.043 \approx 0.38 \text{ cm}$$

(3) 按照武汉片报告第 44 页中表 5.1.1 给出的微新岩体 $E = 35 \text{ GPa}$, $\nu = 0.22$, 与北京片 ② 完全相同, 因而 $u = 0.38 \text{ cm}$ 。

(4) 按照宜昌片在报告第 55 页的表 3.20 中列出的边坡岩体水平卸荷区岩体变形模量 E , 如图 3。

$$u_1 = 5.27 \left(\frac{5}{638} + \frac{5}{5738} + \frac{5}{15940} + \right.$$

$$\left. \frac{5}{31240} + \frac{\left(\frac{57}{2} - 20\right)}{51640} \right) =$$

$$\begin{aligned} &5.27(0.00784 + 0.00087 + 0.000314 + \\ &0.00016 + 0.000165) = 5.27(0.00935) = \\ &0.049 \text{ m} = 4.9 \text{ cm} \end{aligned}$$

$$u_2 = 0.22 \frac{1.27 \times 47}{638} = 0.02 \text{ m} = 2 \text{ cm}$$

则

$$u = u_1 + u_2 = 6.9 \text{ cm}$$

(5) 如果将宜昌片靠近边坡 0~5 m 的岩体变形模量改为 5~10 m 的岩体变形模量相同, 即 $E = 5.738 \text{ GPa} = 5738 \text{ MPa}$, 则

$$u_1 = 5.27(2 \times 0.00087 + 0.000314 + 0.00016 + 0.000165) = 5.27(0.00238) = 0.0125 \text{ m} = 1.25 \text{ cm}$$

$$u_2 = 0.22 \frac{1.27 \times 47}{5738} = 0.00229 \text{ m} = 0.23 \text{ cm}$$

则

$$u = u_1 + u_2 = 1.25 + 0.23 = 1.5 \text{ cm}$$

(6) 如果按图 4(b) 中的 B 线的岩体变形模量, 则

$$u_1 = 5.27 \left(\frac{5}{5000} + \frac{5}{15000} + \frac{5}{20000} + \frac{5}{30000} + \frac{\left(\frac{57}{2} - 20\right)}{51640} \right) =$$

$$5.27(0.001 + 0.00033 + 0.00025 + 0.000165) = 5.27(0.001745) = 0.0092 \text{ m} = 0.92 \text{ cm}$$

$$u_2 = 0.22 \frac{1.27 \times 47}{5000} = 0.00263 \text{ m} = 0.26 \text{ cm}$$

则

$$u = u_1 + u_2 = 0.92 + 0.26 \approx 1.2 \text{ cm}$$

根据上述及分析, 中墩直墙顶水平位移约 0.6~1.5 cm。

下面对中墩的稳定性作一分析, 供参考。

按宜昌片地应力:

$$\sigma_1 = 0.027z$$

$$\sigma_3 = 4 + 0.027z = T + 0.027z$$

由莫尔-库仑条件:

$$\sin\varphi = \frac{\frac{1}{2}(\sigma_1 - \sigma_3)}{c \cot\varphi + \frac{1}{2}(\sigma_1 + \sigma_3)}$$

将 σ_1, σ_3 代入上式得

$$T \leq \frac{2\cos\varphi}{1-\sin\varphi}c - \frac{1}{1-\sin\varphi}2 \times 0.027z$$

对于岩体, 三片提供了微新岩体的 $f = \tan\varphi$ 和 c 值, 列出如下:

武汉片(报告第99页, 表5.1.1) $f = 1.8$, $c = 1.5, 1.8, 3.0 \text{ MPa}$

北京片(报告第62页, 表5.1) $f = 1.8, c = 1.8$

宜昌片(报告第34页, 表3.2) $f = 1.8, c = 1.8$

以 $f = 1.8, \varphi = 60.9^\circ, c = 1.8 \text{ MPa}$ 代入上式,

$$T \leq 7.7c - 0.4279z$$

当 $z = 0$, 顶部, $T \leq 13.86$

$z = 47 \text{ m}$, 底部, $T \leq 13.86 - 20.1$

这在底部是要破坏的。

$$\text{当 } T = 4 \text{ MPa}, z = \frac{13.86 - 4}{0.4279} = 23 \text{ m}$$

即在中墩的中部达到极限平衡。

如果考虑结构面的 $\varphi = 45^\circ, c = 0.3 \sim 0.6$ (武汉片报告第94页, 表5.1.2), 则中墩更是必须加锚以保持稳定。

2 为什么宜昌片计算的陡高边坡直墙顶水平位移较大呢?

2.1 宜昌片计算的特点

(1) 考虑岩体三个方向变形模量的各向异性, 如图 5 所示三个方向, 若 z 向变形模量为 1, 则 x 向为 0.6, y 向为 0.8;

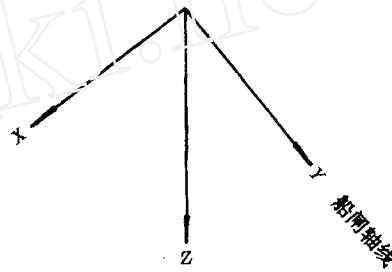


图 5 船闸坐标

Fig. 5 Coordinates of ship-lock

(2) 船闸开挖是卸荷, 认为卸荷是非线性的, 随着卸荷的增大, 卸荷变形模量越小, 直到趋于 0, 如图 6;

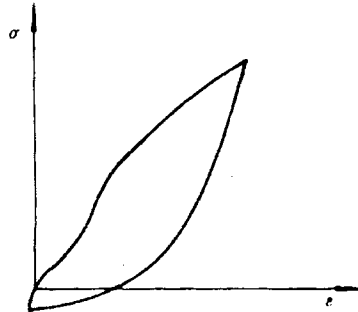


图 6 开挖卸荷示意图

Fig. 6 Diagram of excavation induced unloading

(3) 水平卸荷区在边坡 20 m 范围内的劣化, 变形模量大大降低, 在 0~5 m 时降低至 1/100(报告第54页, 表3.19);

(4) 当岩体受拉时, 其变形模量很小, 即各向异性;

(5) 岩石拉应力达到抗拉强度的某个百分数时, 当卸荷量达到 81%~100% 时, 其变形模量减至 0.4~0.7 GPa;

(6) 变刚度。

因此, 宜昌片考虑了各向异性、卸荷、卸荷的非线性、拉应力及变刚度, 这些都是很好的思维, 但其参数数值必须是符合实际的。

2.2 为什么宜昌片计算的边坡直墙顶水平位移较大

(1) 在卸荷区附近的边坡, 由于水平构造应力及自重水平应力都要卸荷, 因此, 卸荷量达到 90% ~100%, 而卸荷试验(报告第 43 页, 表 3.6)的卸荷变形模量, 如图 7 所示, 卸荷量达 90% 的边坡, 其卸荷变形模量仅为初始变形模量 5%。

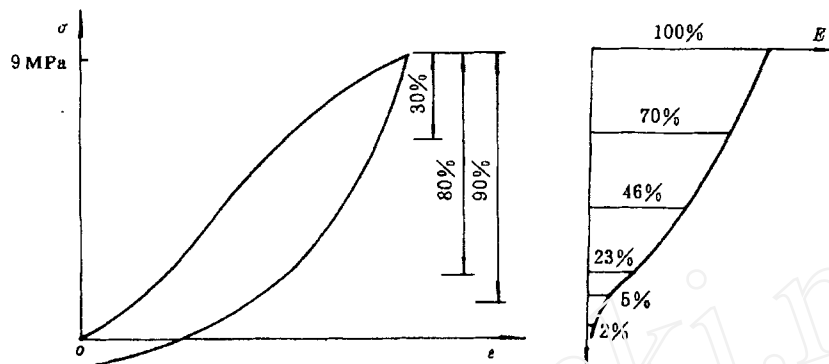


图 7 卸荷与变形模量衰降

Fig. 7 Unloading and decrease of deformation modulus

由报告第 51 页中表 3.15, 靠近边坡 0~5 m 的变形模量为 20 m 处变形模量的 1.2%, 这表明, 靠近边坡的岩体, 其变形模量是很低的, 因而它的水平位移很大。

(2) 当应力达到抗拉强度时, 变形模量为初始变形模量的 2%; 当选取岩体的抗拉强度由 3.5 MPa, 2.5 MPa, 1.5 MPa, 0.8 MPa, 0.4 MPa, 0 时, 则靠近边坡除 0~5 m 区域的变形模量很小外, 随着拉应力达到抗拉强度, 则变形模量为 2% 的区域不断向边坡内部扩大, 即 h_{st} 不断增加, 则坡顶水平位移不断增大。

当 0~10 m 的变形模量为 0.25 GPa 时, 由报告第 4 页

$$\begin{aligned} u_1 &= 7.84 \left(\frac{10}{250} + \frac{5}{15940} + \frac{5}{31240} + \frac{60}{57640} \right) = \\ &7.84(0.04 + 0.000314 + 0.00016 + 0.00116) = \\ &27.84(0.0416) = 0.32 \text{ m} = 32 \text{ cm} \\ u_2 &= 0.22 \frac{3.84 \times 47}{250} = 0.159 \text{ m} = 15.9 \text{ cm} \end{aligned}$$

则

$$u = u_1 + u_2 = 32 + 15.9 = 47.9 \text{ cm}$$

这相当于抗拉强度 $R_t = 0.4 \text{ MPa}$ 时计算得到的水平位移 42.4 cm, 假定抗拉强度再减小, 则极低变形模量的范围不断由边坡向内部扩大, 当扩大至 40 m 时, 则可以算出水平位移达到 148.4 cm(见报告第 89 页中表 4.4)。

由此看来, 由于靠近边坡的岩体卸载量大, 而计算给出的变形模量太低; 又考虑到若抗拉强度减小, 而拉应力超过抗拉强度时, 其给出的变形模量

又太低, 这就是宜昌片计算的边坡直墙顶水平位移过大的原因。

3 直墙顶最大的水平位移究竟是多少?

(1) 武汉片(报告第 154 页中表 5.4.2.1)及北京片(报告第 129 页中表 5, 报告第 130 页中表 6)边坡稳定分析表明, 边坡整体稳定安全系数大于 2, 可靠度指标 5.5, 因而, 边坡整体是稳定的, 并已对定位块体、半定位块体及随机块体进行锚固, 而岩体属于坚硬质岩石, 位移肯定是很小的。

(2) 由于逐层开挖逐层加锚, 因而, 水平位移会更小, 因为靠近边坡的岩体得到加固。

(3) 卸荷会形成新的结构面或增加连通率, 但由于加锚, 受拉区将会受到控制, 而微新岩体是可以受拉的, 抗拉强度可达到 1.5 MPa(北京片报告第 62 页中表 5.1 及武汉片报告第 94 页中表 5.5.1)或 0.95 MPa(宜昌片报告第 55 页中表 3.21)。

(4) 在卸荷达到 8 MPa 的情况下, 坚硬岩石是不会流变的, 而且其变形会立即完成; 只有结构面在拉应力超过其抗拉强度、剪应力超过抗剪强度时, 可能会增加连通率或破坏, 相反它仅产生位移; 由于三峡花岗岩结构面为刚性、粗糙结构面, 最重要的是由于加锚, 因而其位移较小且较快趋于完成, 因此, 产生流变而不收敛的现象是不会发生的。

(5) 已开挖 140 m 深的临时船闸, 坡顶的水平位移为 2~3 cm(直墙部分应小些), 临时船闸与永久

船闸地质接近,但地应力比永久船闸估计要小。

(6) 根据地应力及给出的变形模量,用上述的工程估算法算出的直墙顶的水平位移与武汉、北京、宜昌三片分别符合。只要对宜昌片靠近开挖边坡 5 m 厚岩体的变形模量由 0.638 GPa 提高到 5.738 GPa, 则宜昌片的计算就可能与武汉片及北京片相近。因此,可以相信 16-16 剖面南侧直墙顶的水平位移为 2~3 cm。中墩直墙顶的水平位移为 0.8~1.5 cm。

4 意见和建议

(1) 保证边坡整体稳定的条件是不计算水压力。因此,在开挖过程中,在使用过程中必须保证暴雨的迳流立即排除,坡面不入渗,坡面排水孔畅通,保证边坡内形成排水幕。为达到坡面不入渗的目的,最好用钢筋混凝土的、分隔的、止水的护面。至于如何能形成排水幕,武汉片(报告第 88 页中图 4.12),宜昌片(报告第 155 页中图 8.24)和北京片(报告第 191 页中图 24)都有不同的意见,应该很好研究。

(2) 保证边坡的局部稳定是采用喷锚网及锚杆(索),锚杆,特别是锚索,防锈是重要的。由于岩石结构面可能有水入渗,与大气连通,当锚索钢丝直径为 5 mm 时,锚索穿越结构面,由于变形的影响发生锈蚀是非常危险的。

(3) 锚杆(索)的受力分析,应当根据逐层向下开挖逐层锚固的施工步骤用增量法计算,同时,应把它看作一个集中力,作为一个集中力弹簧看待。在有限元计算中用等效力学参数(变形模量)法(宜昌

片报告第 99 页中公式 5.27)、计算机模拟实验法得到岩体力学参数的提高率(北京片报告第 25 页中表 3.8)、室内模拟试验法得到岩体力学参数的提高率(武汉片报告第 173 页中结论)可能不是很好的方法。

(4) 靠近边坡及中墩的任何孔洞的施工,特别是对于直径大、孔洞长、靠近边坡位置及工程优势结构面的孔洞,必须小心谨慎。例如对爆破施工,还必须进行力学分析其对边坡的影响。

(5) 船闸每扇门的尺寸约为 17 m(宽)22 m(高),考虑到门轴锁链的位置,高宽比约为 1:1 或 1.3:1,因此,直墙边坡沿高度的水平位移差约等于两扇闸门沿高度的密闭差。由于该岩体为坚硬岩石,有锚杆(索)对结构面及拉应力区进行加固,因此,在安装闸门前水平位移已经完成,故不会对闸门的启闭产生影响,仍为了考虑岩体可能的后期流变的影响,闸门应该设计成沿高度方向可容许 2 cm 的密闭差。

(6) 在对船闸边坡的监测系统认为是合理的,仪器测点安设方法是正确的、监测次数及时间是恰当的、测量误差是允许的作了充分研究及实施后,应对测试结果进行反分析,特别是对位移进行反分析,因为只要基点不受影响,测量误差是允许的话,位移测量一般是正确的。并应对下一步开挖进行逐次预测,为了保证边坡的安全,这种监测、反分析、预测必须立即着手进行。

致谢 武汉、宜昌、北京三片的研究报告和专家们的研讨,使我学习了不少新的东西,在此对三峡技术委员会,中国岩石力学与工程学会,各地专家和专家组的专家们表示谢意。

ON THE HORIZONTAL DISPLACEMENT OF THE TOP OF STRAIGHT WALL OF SHIPLOCK HIGHSLOPE IN THE THREE GORGES DAM

Lu Peiyan

(Guangdong Provincial Research Institute of Water Conservancy and Hydro-Power, Guangzhou 510610 China)